



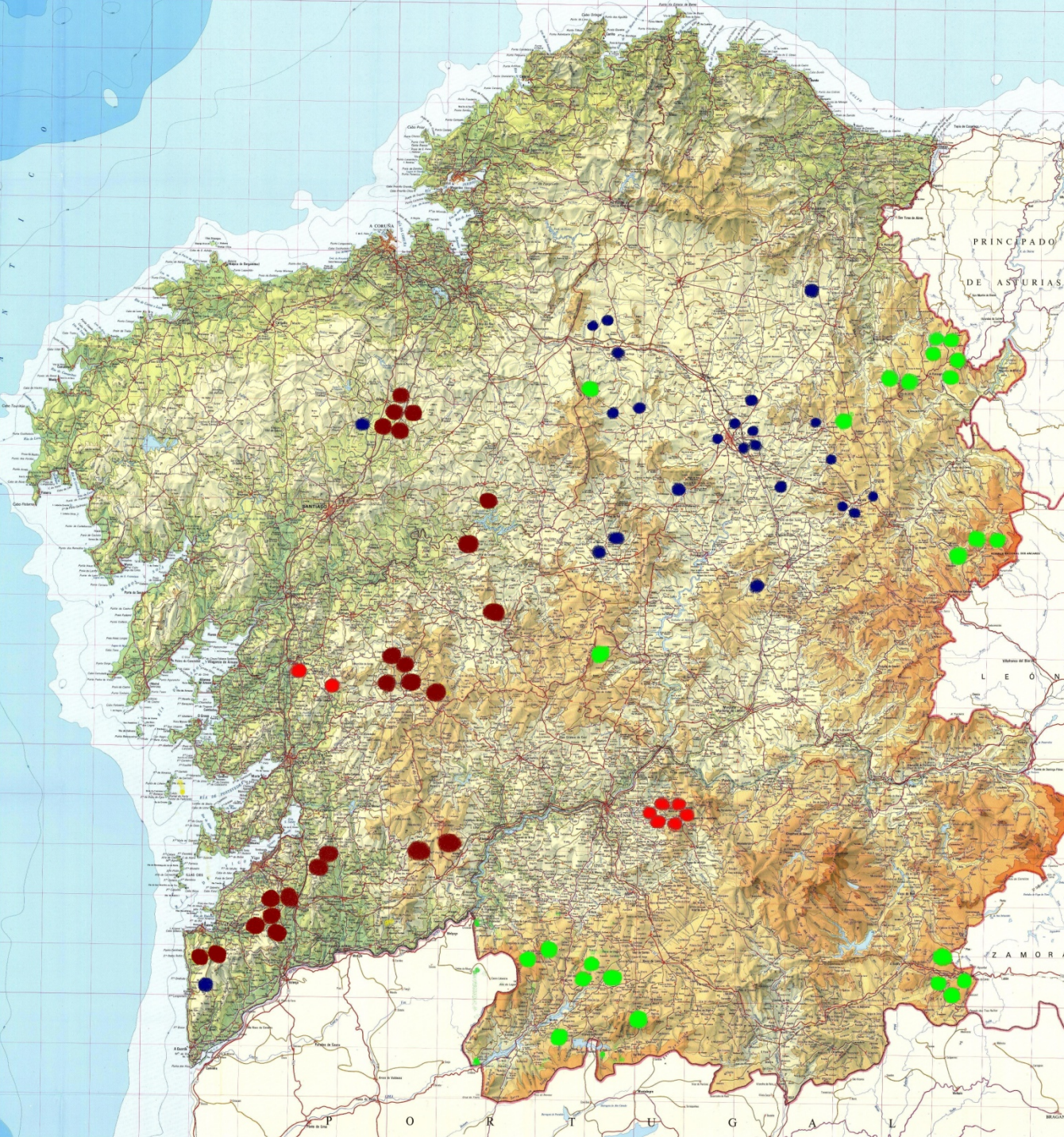
Testimonio isotópico (^{13}C) do cambio climático

Ana Cabaneiro e Irene Fernández

Instituto de Investigaciones Agrobiológicas de Galicia

Consejo Superior de Investigaciones Científicas

Santiago de Compostela



- *P. radiata* D. Don
- *P. pinaster* Ait.
- *P. Sylvestris* L.
- *Pseudotsuga menziesii* (Mirb.)

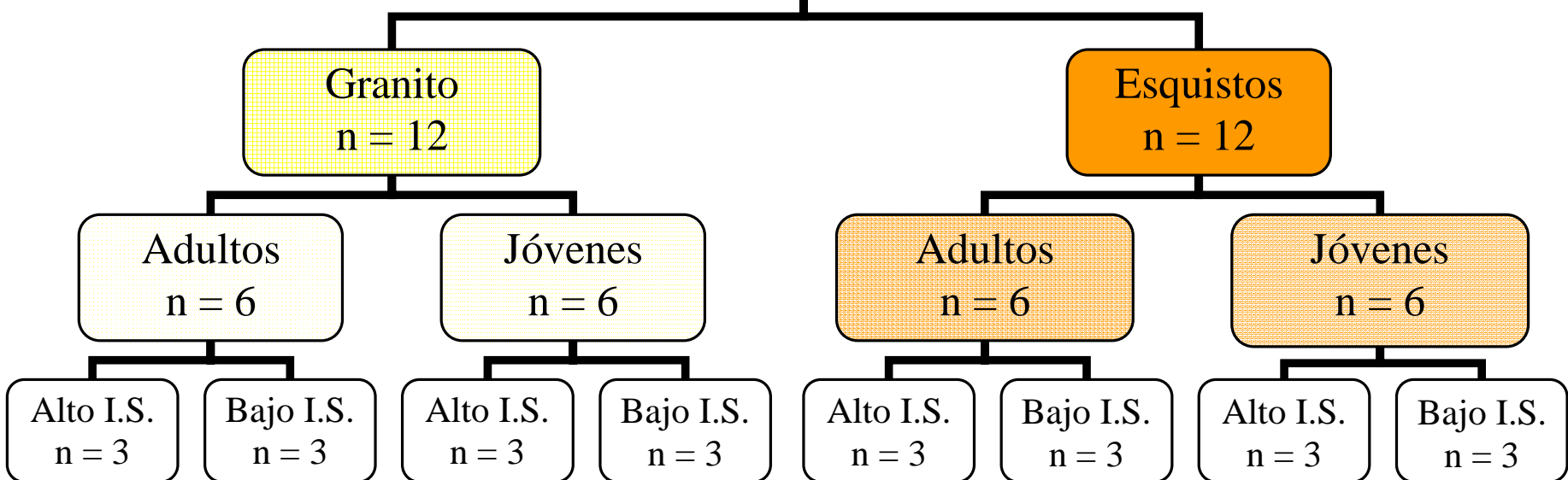
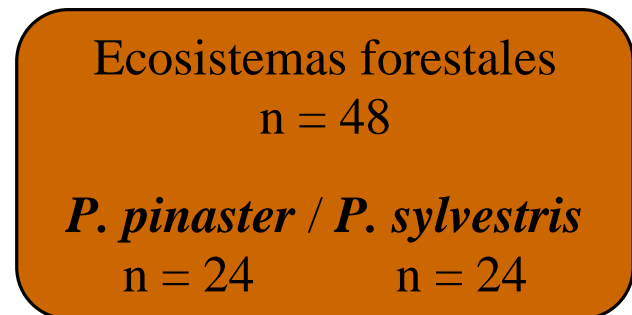
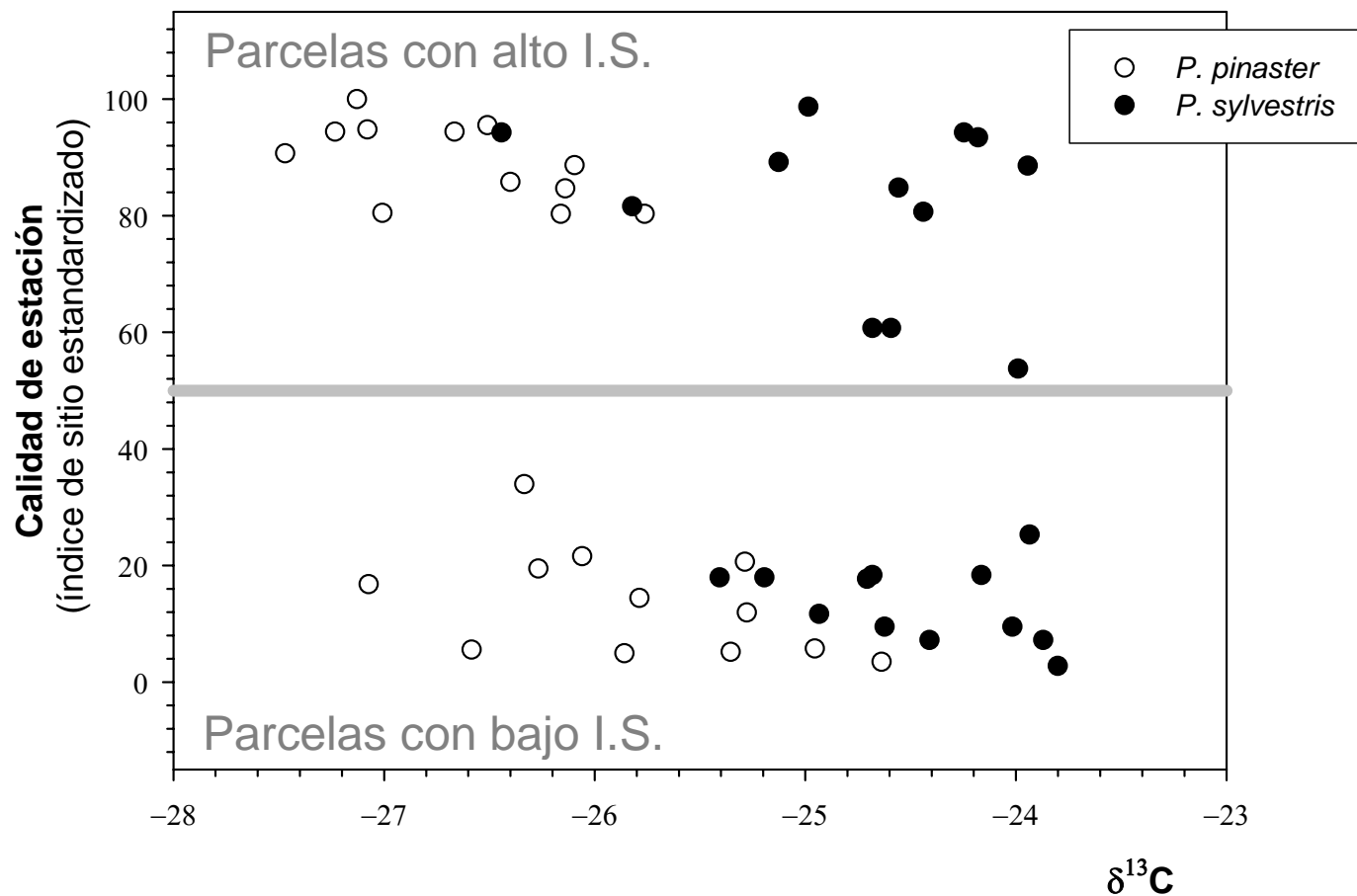


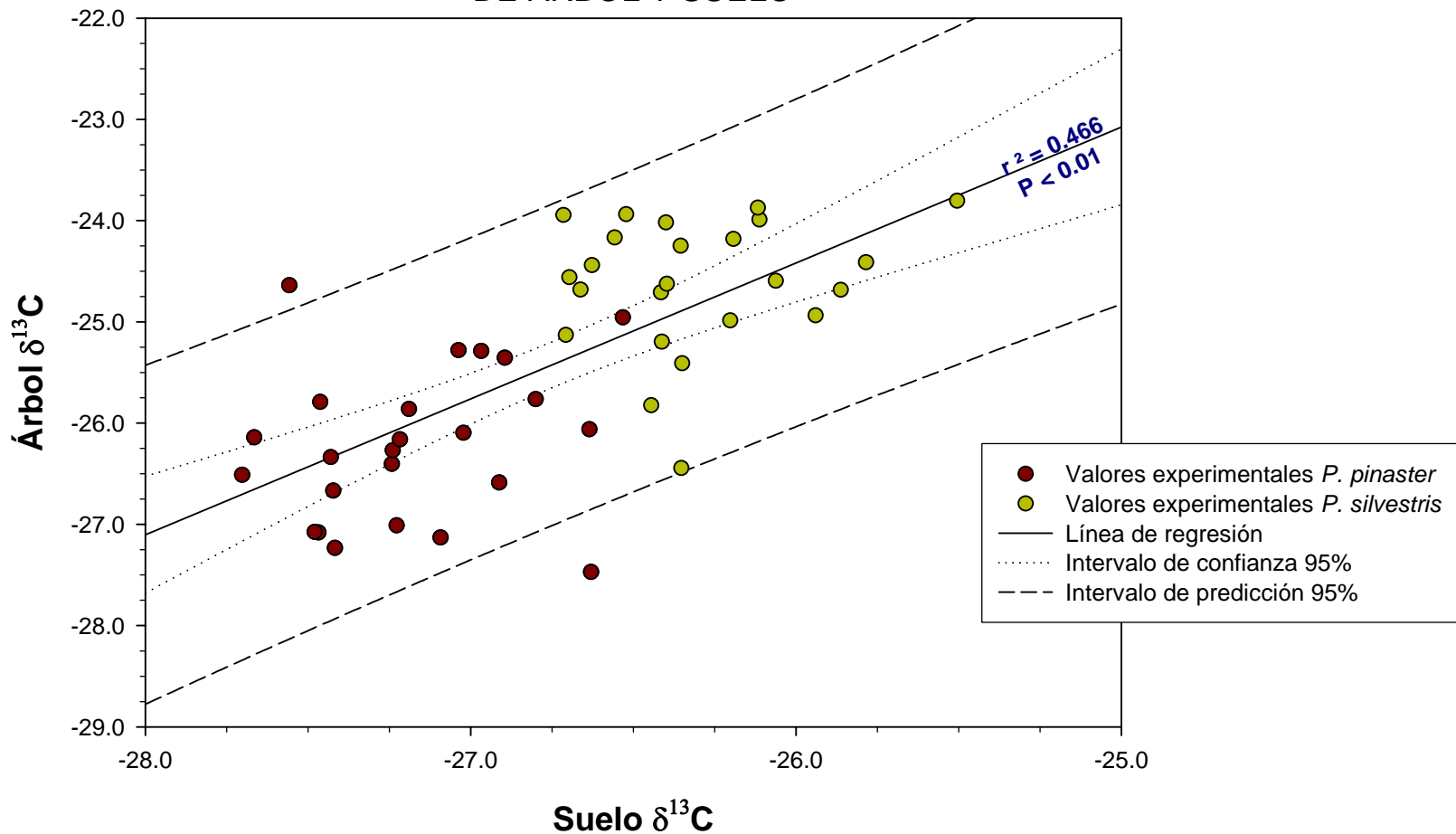
Diagrama del diseño experimental y criterios utilizados en la selección de las parcelas: roca madre, edad de la plantación e índice de sitio de la masa forestal (I.S.).

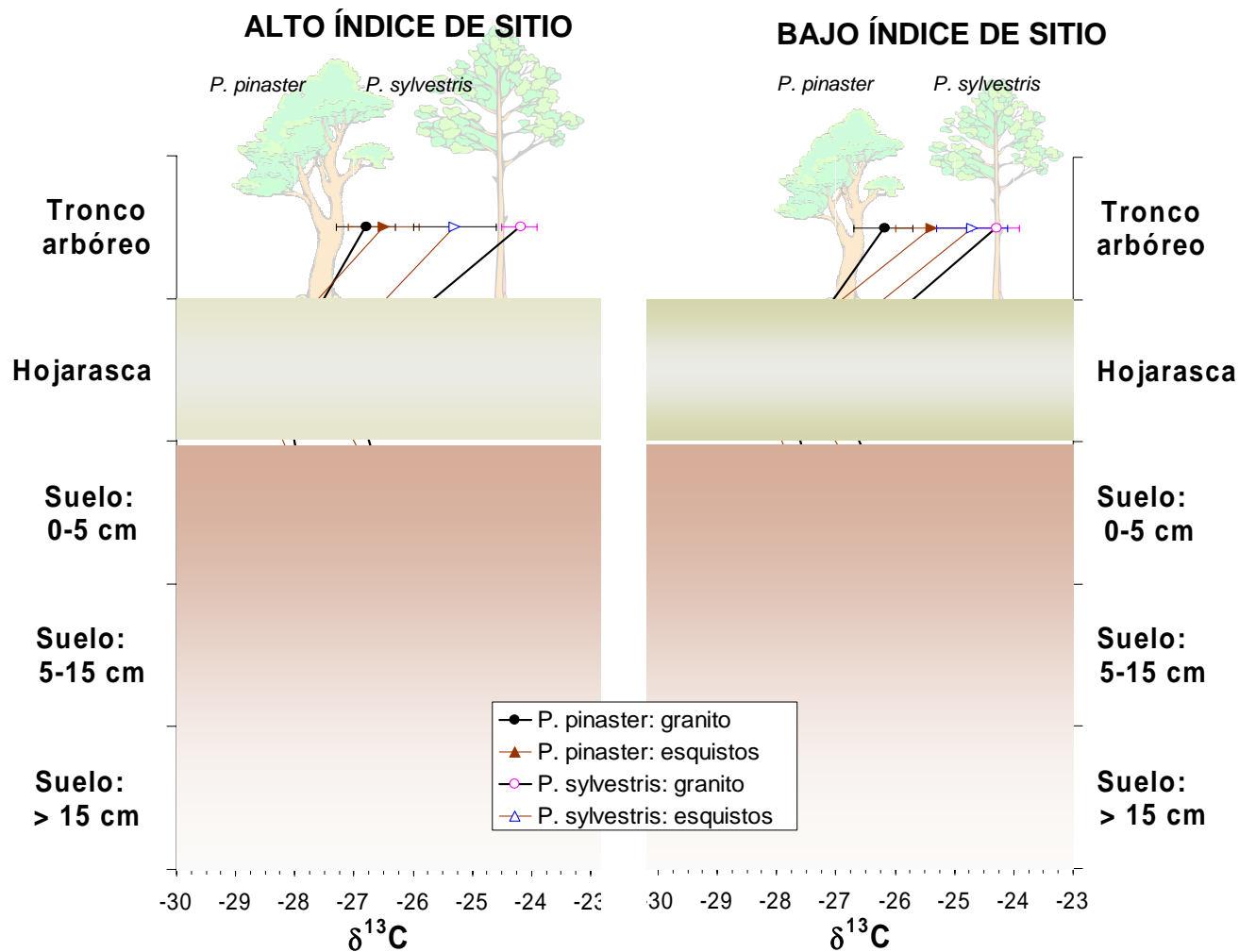
Composición isotópica (^{13}C) de *P. pinaster* y *P. sylvestris*



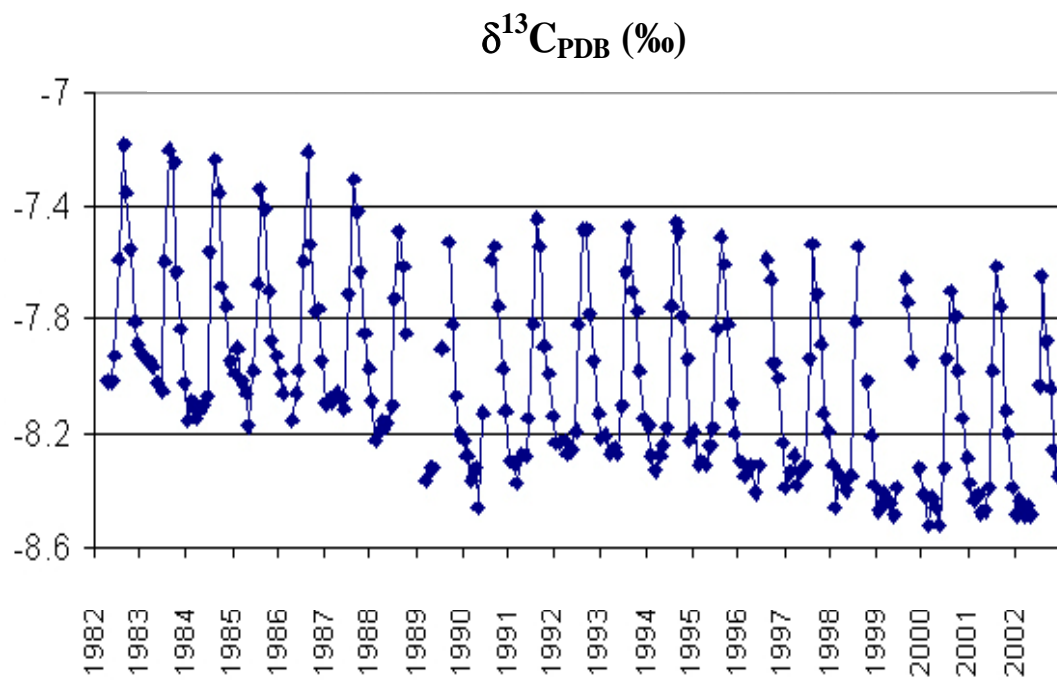
Distribución de los valores medios de la composición isotópica (^{13}C) de los troncos de árbol

CORRELACIÓN ENTRE LA COMPOSICIÓN ISOTÓPICA (^{13}C) DE ÁRBOL Y SUELO





Relación isotópica ($^{13}\text{C}/^{12}\text{C}$) en ecosistemas gallegos de *P. pinaster* y *P. sylvestris* para bosques de alto y bajo índice de sitio.

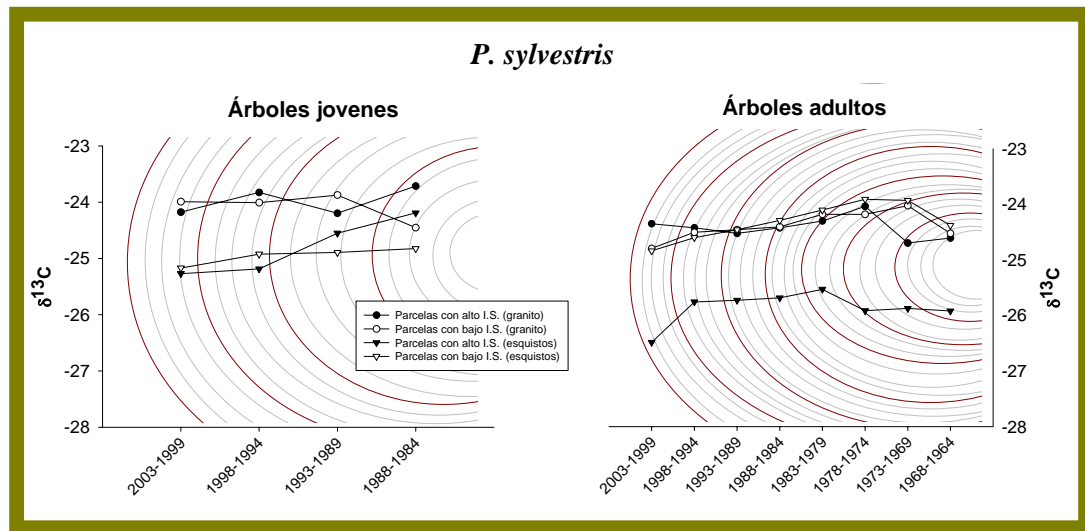
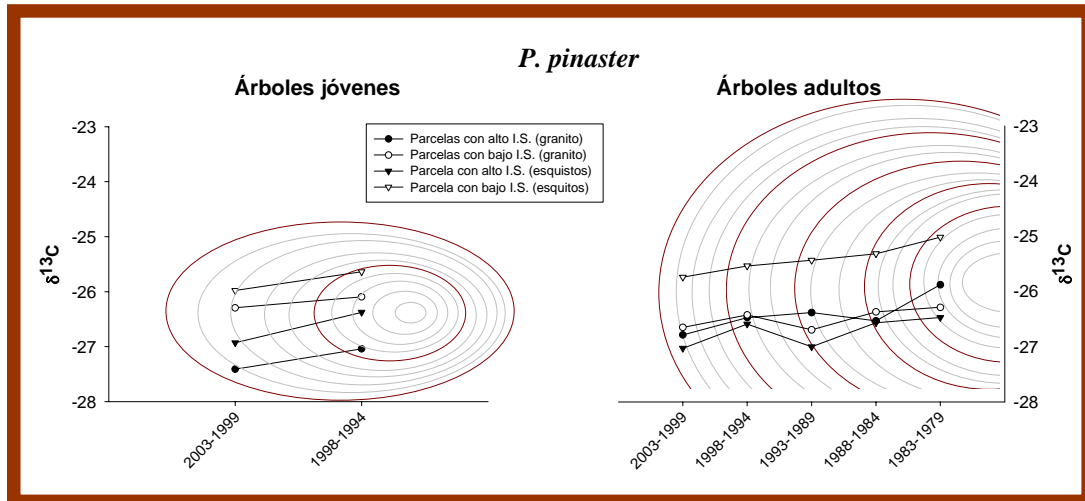


Datos de la relación isotópica $^{13}\text{C}/^{12}\text{C}$ del CO_2 atmosférico procedentes de la estación SIO (Scripps Institution of Oceanography) de Point Barrow, Alaska.

Fuente: C.D. Keeling, A.F. Bollenbacher y T.P. Whorf en <http://cdiac.ornl.gov/trends/co2/iso-sio/iso-sio.html>



Extracción de muestras diamétricas de madera con una barrena Pressler para la obtención de las series isótopicas $^{13}\text{C}/^{12}\text{C}$ a partir de los anillos de crecimiento arbóreo.



Series isotópicas obtenidas a partir de valores medios de $\delta^{13}\text{C}$ de muestras diamétricas de madera analizadas a intervalos continuos de 5 anillos de crecimiento

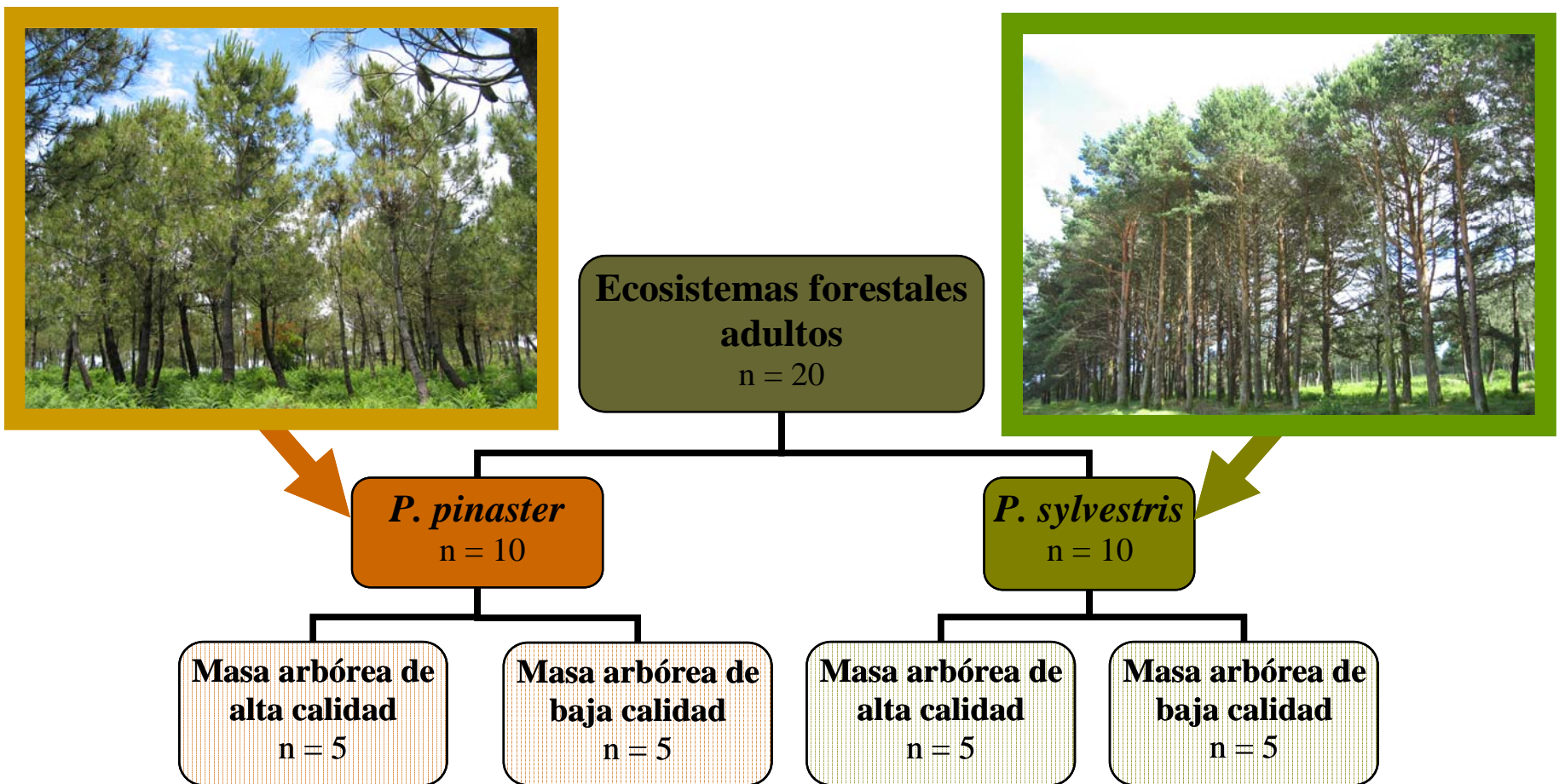


Diagrama con los criterios de selección de las masas arbóreas utilizadas para la obtención de series isotópicas temporales de la relación $^{13}\text{C}/^{12}\text{C}$ en Galicia.

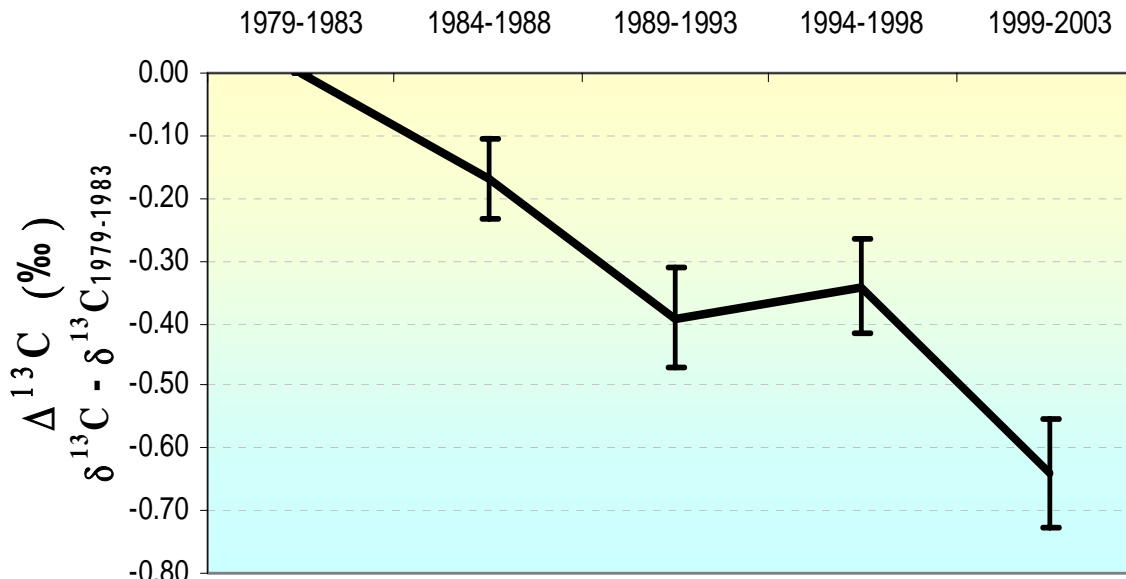
Tabla 1. Características de las plantaciones forestales y composición isotópica ^{13}C de los anillos de crecimiento correspondientes a últimos 25 años de vida de los árboles.

Parcela	Edad arbórea (años)	I.S.	I.S. %	$\delta^{13}\text{C}$ árbol	Intervalos quinquenales de anillos de crecimiento					
					$\delta^{13}\text{C}$ 1979-1983	$\delta^{13}\text{C}$ 1984-1988	$\delta^{13}\text{C}$ 1989-1993	$\delta^{13}\text{C}$ 1994-1998	$\delta^{13}\text{C}$ 1999-2003	
<i>P. pinaster</i>										
A l t a c i d a d	ORD-5 MON-6 VIG-1 ORD-6 ORD-1	42 30 30 32 42	18.7 85.8 84.7 80.5 80.4	88.7	-26.10 -26.40 -26.14 -27.01 -26.16	-26.12 -25.73 -25.87 -27.01 -26.28	-26.02 -26.68 -26.20 -26.88 -26.80	-26.93 -26.64 -26.09 -27.37 -27.71	-26.40 -26.99 -26.15 -27.26 -26.12	-26.63 -27.18 -26.59 -27.99 -26.47
B a j a c a l i d a d	MON-5 MOU-1 FOR-6 FOR-4 ARZ-2	28 25 45 45 30	12.4 11.6 11.3 10.4 9.5	21.6 16.9 14.4 12.0 3.5	-26.06 -27.07 -25.79 -25.28 -24.64	-25.81 -26.91 -25.63 -24.89 -24.53	-26.05 -26.64 -26.00 -25.22 -24.74	-26.09 -27.26 -26.11 -25.62 -24.58	-26.05 -27.18 -26.21 -25.62 -24.98	-26.59 -27.38 -26.49 -25.76 -24.98
<i>P. sylvestris</i>										
A l t a c i d a d	FON-1 GUD-5 MOT-1 FON-2 GUD-3	51 49 52 46 43	17.0 15.8 15.8 14.2 12.9	98.7 94.3 94.3 81.7 60.8	-25.00 -26.44 -24.25 -25.82 -24.68	-25.11 -26.48 -23.97 -25.04 -24.57	-24.75 -26.60 -24.02 -25.38 -24.59	-24.43 -27.01 -24.50 -25.61 -24.57	-24.60 -26.55 -24.30 -25.78 -24.54	-25.07 -26.71 -24.19 -26.29 -24.89
B a j a c a l i d a d	FON-21 OUT-1 FON-29 MUI-1 FON-16	45 44 44 43 44	9.8 8.9 8.7 8.6 6.8	25.3 18.4 18.0 17.7 7.2	-23.94 -24.17 -25.41 -24.71 -23.87	-23.55 -24.07 -25.23 -24.44 -23.53	-23.99 -24.43 -25.13 -24.42 -23.75	-24.12 -24.39 -25.38 -25.28 -23.87	-24.39 -24.62 -25.64 -24.99 -23.93	-24.85 -25.04 -25.64 -25.01 -24.02

I.S.: Índice de sitio

I.S. %: Índice de sitio estandarizado

Descenso isotópico (^{13}C) medio en los anillos de crecimiento para el periodo 1979-2003

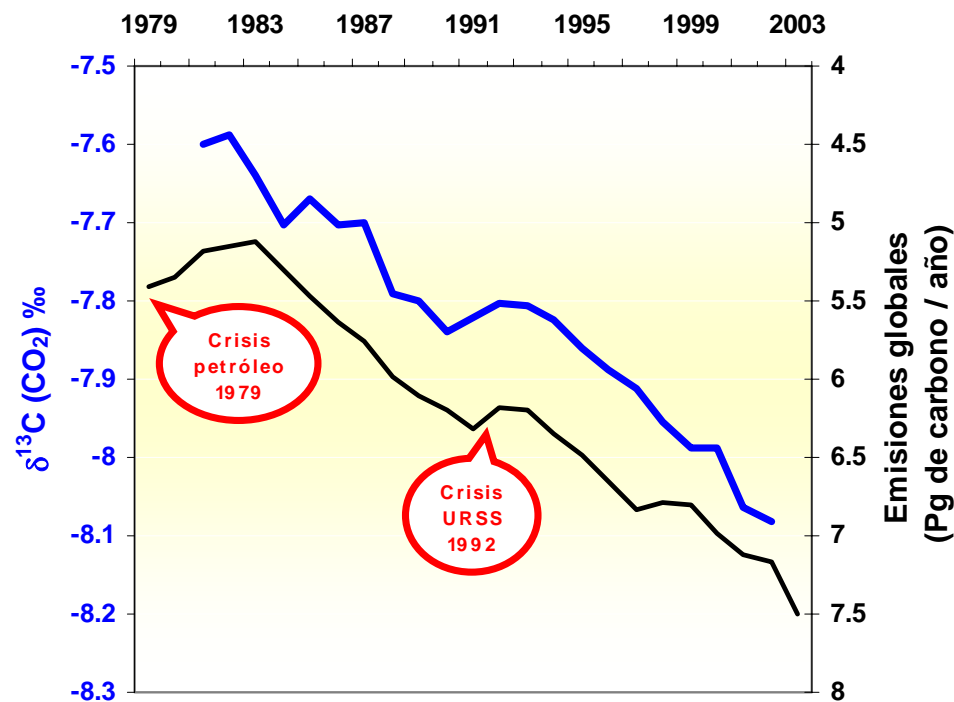


Evolución temporal de la variación media en la composición isotópica quinquenal de los anillos de crecimiento, mostrada por la totalidad de los especímenes de *P. pinaster* y *P. sylvestris* analizados

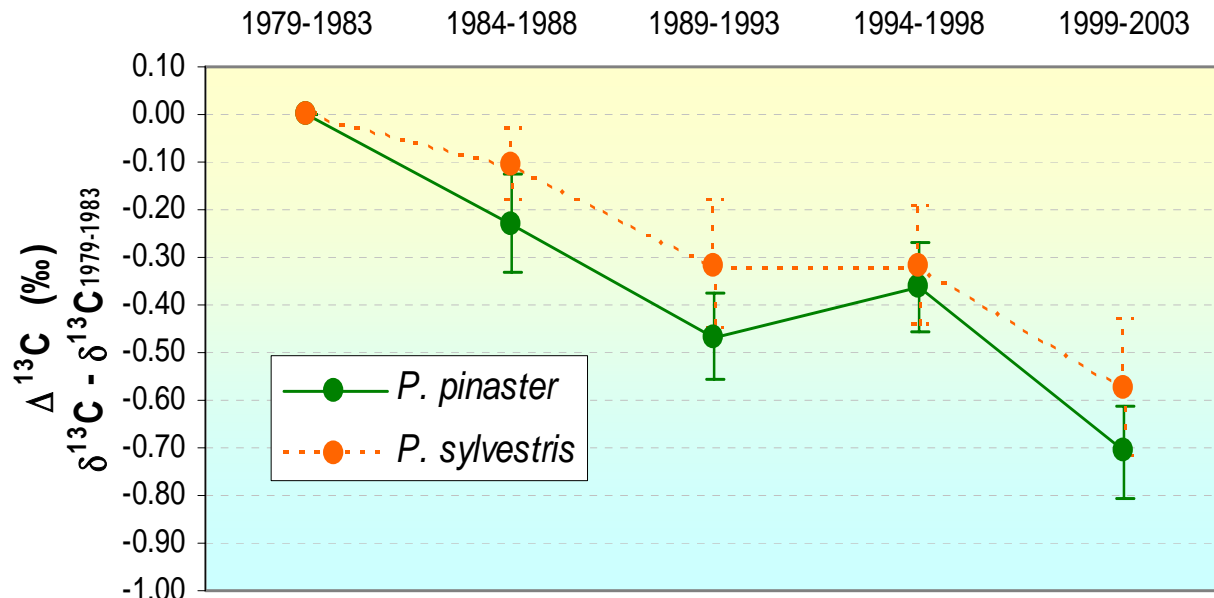
Análisis de varianza de los valores de $\Delta^{13}\text{C}$ ($\delta^{13}\text{C}_{1999-2003} - \delta^{13}\text{C}_{1979-1983}$)

Especies arbóreas	Nº de casos	$\Delta^{13}\text{C}$ medio	Error típico	P
<i>P. pinaster + P. sylvestris</i>	20	-0.64	0.09	0.000

Media anual de la relación $^{13}\text{C}/^{12}\text{C}$ del CO_2 atmosférico registrada en Mauna Loa (en azul) y emisiones globales de CO_2 a la atmósfera procedentes de la quema de combustibles fósiles y de la industria cementera (en negro), cuya escala ha sido invertida para hacer visible el paralelismo entre estos comportamientos.



Descenso isotópico (^{13}C) medio para anillos de *P. pinaster* y *P. sylvestris*

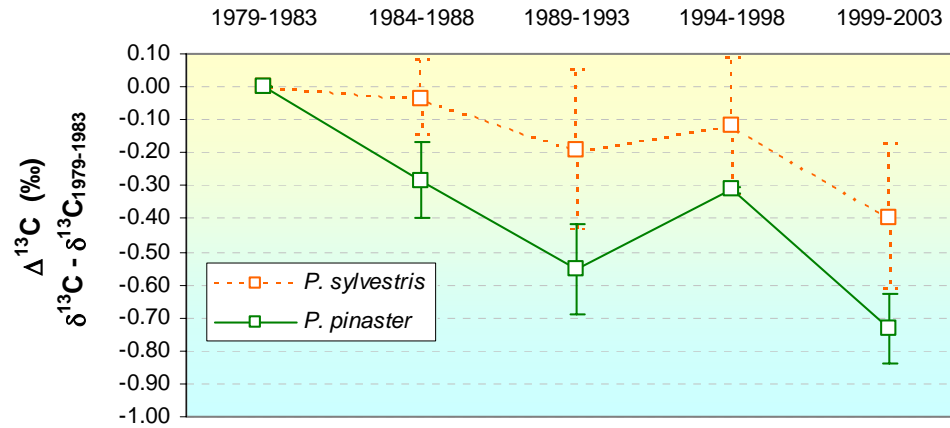


Evolución temporal de la variación media en la composición isotópica quinquenal de los anillos de crecimiento para *P. pinaster* y *P. sylvestris*

Análisis de varianza de los valores de $\Delta^{13}\text{C}$ ($\delta^{13}\text{C}_{1999-2003} - \delta^{13}\text{C}_{1979-1983}$)

Especies arbóreas	Nº de casos	$\Delta^{13}\text{C}$ medio	Error típico	<i>P</i>
<i>P. pinaster</i>	10	-0.71	0.10	0.000
<i>P. sylvestris</i>	10	-0.57	0.14	0.001

Descenso isótopico medio (^{13}C) en anillos de crecimiento para árboles de alta calidad



Descenso isótopico medio (^{13}C) en anillos de crecimiento para árboles de baja calidad

